

На правах рукописи

**НГУЕН Ти Тхань**



**АДАПТИВНОЕ УПРАВЛЕНИЕ ДВУХКАСКАДНЫМИ ОБЪЕКТАМИ  
С ИНТЕГРАЛЬНЫМ ВИРТУАЛЬНЫМ АЛГОРИТМОМ**

Специальность 05.13.01 – «Системный анализ, управление  
и обработка информации» (промышленность)

**А В Т О Р Е Ф Е Р А Т**  
диссертации на соискание ученой степени  
кандидата технических наук

Тула – 2018

Работа выполнена в Калужском филиале федерального государственного бюджетного образовательного учреждения высшего образования «Московский государственный технический университет имени Н.Э. Баумана (национальный исследовательский университет)»

- Научный руководитель:** кандидат технических наук,  
**Мышляев Юрий Игоревич**
- Официальные оппоненты:** **Андриевский Борис Ростиславич**, доктор технических наук, доцент, ФГБУН «Институт проблем машиноведения Российской академии наук (ИПМаш РАН)», г. Санкт-Петербург, ведущий научный сотрудник
- Чайковский Михаил Михайлович**, доктор технических наук, ФГУП «Научно-производственный центр автоматизации и приборостроения имени академика Н.А. Пилюгина» (ФГУП «НПЦАП»), г. Москва, ведущий научный сотрудник
- Ведущая организация:** ФГБОУ ВО «МИРЭА – Российский технологический университет», г Москва

Защита состоится «19» марта 2019 г. в 16<sup>00</sup> часов на заседании диссертационного совета Д 212.271.05 при ФГБОУ ВО «Тульский государственный университет» (300012, г. Тула, пр. Ленина, 92, 12-105).

С диссертацией можно ознакомиться в библиотеке ФГБОУ ВО «Тульский государственный университет» по адресу: 300012, г. Тула, пр. Ленина, 92 и на сайте [http://tsu.tula.ru/science/dissertation/diss-212-271-05/Nguen\\_TT/](http://tsu.tula.ru/science/dissertation/diss-212-271-05/Nguen_TT/)

Автореферат разослан «25» января 2019г.

Ученый секретарь  
диссертационного совета



Соколова  
Марина Юрьевна

## ОБЩАЯ ХАРАКТЕРИСТИКА РАБОТЫ

В работе рассматривается класс линейных двухкаскадных систем в условиях параметрической неопределенности. Предлагается модифицированная на этапе синтеза виртуального управления (ВУ) методика скоростного биградиента (МСБГ), обеспечивающая повышение точности за счет введения интегратора и формирования информационного выхода (ИВ), задающего желаемую динамику достижения цели управления. На основе разработанной методики синтезирован алгоритм адаптивного управления роботом-манипулятором в условиях параметрической неопределенности.

**Актуальность темы** в теоретической области продиктована требованиями повышения качества и точности управления каскадными системами в условиях параметрической неопределенности при ограничении на гладкость ВУ для конечного каскада (КК). В прикладной области – повышением качества функционирования, точности и обеспечения робастных свойств робота-манипулятора по отношению к массе переносимого груза.

**Объектом исследования** в теоретической области являются двухкаскадные линейные системы в условиях параметрической неопределенности, в практической области – робот-манипулятор.

**Предметом исследования** является адаптивные алгоритмы управления линейными каскадными системами на основе МСБГ с интегральным виртуальным управлением (ИВУ) для обеспечения ограниченности траектории замкнутой системы и желаемой динамики КК.

**Целью работы** в теоретической области является повышение качества функционирования двухкаскадных динамических систем в условиях параметрической неопределенности. Повышение качества характеризуется высокой точностью и желаемой динамикой слежения для КК и обеспечением ограниченности траекторий замкнутой системы. Целью работы в прикладной области является повышение качества и точности управления роботом-манипулятором.

В диссертационной работе решаются следующие **задачи**:

- ✚ Разработка методики синтеза адаптивного управления каскадными системами с ИВУ.
- ✚ Синтез алгоритмов адаптивного управления линейными каскадными системами и анализ их свойств.
- ✚ Синтез алгоритма адаптивного управления манипулятором на основе разработанной методики.

**Методы исследования** основываются на положениях теории систем автоматического управления, устойчивости, методов адаптивного управления.

Получены следующие результаты, характеризующиеся **научной новизной**.

1. Разработана методика синтеза адаптивного управления каскадными системами с ИВУ на основе МСБГ. В отличие от методов каскадного синтеза (скользящие режимы, Backstepping, МСБГ) для КК водится интегратор по каналу ВУ и обеспечивается устойчивость расширенной подсистемы, формируется ИВ в форме линейного однородного уравнения по элементам вектора ошибки с характеристическим уравнением, совпадающим с характеристическим уравне-

нием ЭМ. В отличие от скользящих режимов высших порядков, происходит расширение размерности КК. В отличие от метода супер-скручивания (super-twisting control), применяется каскадный синтез.

2. Синтезированы алгоритмы адаптивного управления каскадными системами с ИВУ на основе разработанной методики. Получено семейство гладких, релейных законов управления с гладкими и релейными интегральными виртуальными алгоритмами для КК. В отличие от МСБГ, виртуальное управление строится в форме интеграла от релейной или гладкой функции от информационного выхода. Управление строится в виде гладкой или релейной обратной связи не только по отклонению от многообразия, но и по ИВ.

3. Синтезирован алгоритм адаптивного управления роботом-манипулятором с учётом модели привода. Использование ИВУ обеспечивает сходимость к нулю обобщенной ошибки между траекториями механической подсистемы и эталонной модели. В отличие от каскадного синтеза на основе скользящих режимов высших порядков, проводится расширение размерности не входного каскада, а конечного. В отличие от алгоритмов управления электромеханическими системами с функцией Ляпунова, использующей весовую матрицу инерции, ВУ не представляет собой сумму компенсационной составляющей и ПД-регулятора по ошибке. В отличие от энергетического подхода используется функция Ляпунова по ошибке слежения, а желаемая динамика задается в виде эталонной модели, а не значением первого интеграла.

**Практическая ценность.** Предложенная методика может применяться для синтеза алгоритмов управления каскадными системами, в т.ч. электромеханическими системами. Полученные результаты внедрены в учебный процесс КФ МГТУ имени Н.Э. Баумана.

**Выносимые на защиту результаты.**

- ❖ Методика адаптивного управления каскадными системами с ИВУ на основе НСР.
- ❖ Гладкие и релейные законы управления с гладкими и релейными интегральными виртуальными алгоритмами для конечного каскада. Сравнительный анализ их предельных свойств. Алгоритмы адаптивного астатического виртуального управления для конечного каскада.
- ❖ Алгоритм адаптивного управления манипулятором на основе разработанной методики синтеза.

**Достоверность полученных результатов** подтверждается применением аналитических методов исследования, доказательствами теорем, сформулированных для синтезированных алгоритмов управления, определяющих условия и качество достижения поставленных целей управления; результатами компьютерного моделирования тестовых примеров и системы адаптивного управления роботом-манипулятором.

**Апробация работы.** Основные положения и результаты диссертационной работы докладывались на Региональной научно – технических конференции «Научоемкие технологии в приборо– и машиностроении и развитие инновационной деятельности в вузе» (Калуга, 2017г, 2018г), на Всероссийской конференции «Мехатронные системы (Теория и проектирование)» (Тула, 2016г), и на

традиционной Молодежной Школе «Информатика, оптимизация и управление» при ИПУ РАН (2017г, 2018г).

**Публикации.** По теме диссертации опубликовано 8 печатных работ, из них 4 статьи в ведущих рецензируемых научных журналах, включенных в перечень ВАК.

**Структура и объем работы.** Диссертация состоит из введения, четырех глав, заключения, списка литературы.

### КРАТКОЕ СОДЕРЖАНИЕ РАБОТЫ

**Во введении** обоснована актуальность темы диссертационного исследования, анализируются относящиеся к ней научные работы, определяются цель и задачи исследования, кратко излагается содержание работы.

**В главе 1** диссертации приводится разработанная общая методика синтеза управления, обеспечивающая ограниченность траекторий замкнутой системы и слежение выхода конечного каскада за желаемым сигналом для класса двухкаскадных, динамических, линейных объектов в условиях параметрической неопределенности, синтезирован алгоритм робастного управления.

#### 1.1. Постановка задачи адаптивного управления каскадными системами

Рассматривается линейный каскадный объект управления (ОУ). Не уменьшая общности будем считать, что  $x_2 \in R^1$ :

$$S_1 : \dot{\mathbf{x}}_1 = \mathbf{A}_{11}(\xi)\mathbf{x}_1 + \mathbf{a}_{12}(\xi)x_2, \quad (1)$$

$$S_2 : \dot{x}_2 = \mathbf{a}_{21}^T(\xi)\mathbf{x}_1 + a_{22}(\xi)x_2 + b(\xi)u, \quad (2)$$

где  $\mathbf{x}_1 = (x_{11} \ \dots \ x_{1n})^T \in R^n$  – вектор состояния КК  $S_1$ ,  $x_2 \in R^1$  – фазовая координата входного каскада  $S_2$ ,  $\mathbf{x} = (\mathbf{x}_1^T \ x_2)^T$ ,  $u \in R^1$  – управление,

$\mathbf{A}_{11}(\xi) = \begin{pmatrix} 0 & & \mathbf{I}_{n-1} \\ a_{n1} & \dots & a_{nn} \end{pmatrix}$ ,  $\mathbf{a}_{12}(\xi) = (0 \ \dots \ a_n)^T$ ,  $\xi \in \Xi$  – множество неизвестных

вариантов параметров ОУ, значения  $\text{sign} b(\xi)$ ,  $\text{sign} a_n(\xi)$  – априорно известны.

**Предположение.** ОУ (1), (2) управляем при  $\forall \xi \in \Xi$ ,

**Целью управления** (ЦУ) является ограниченность всех траекторий замкнутой системы и достижение предельного соотношения

$$\mathbf{e} \rightarrow \mathbf{0} \text{ при } t \rightarrow \infty, \quad (3)$$

где  $\mathbf{e} = (e_1 \ \dots \ e_n)^T = \mathbf{x}_1 - \mathbf{x}_1^*$  – ошибка слежения,  $\mathbf{x}_1^* = (x_{11}^* \ \dots \ x_{1n}^*)^T \in R^n$  – желаемая траектория КК, заданная эталонной моделью (ЭМ) по состоянию конечного каскада в форме

$$\dot{\mathbf{x}}_1^* = \mathbf{A}_* \mathbf{x}_1^* + \mathbf{b}_* r \Leftrightarrow g(p)x_{11}^* = g_0 r, \quad (4)$$

где  $r$  – гладкая, ограниченная вместе со своей производной функция,

$\mathbf{A}_* = \begin{pmatrix} 0 & & \mathbf{I}_{n-1} \\ -g_0 & \dots & -g_{n-1} \end{pmatrix}$  – гурвицевая матрица с заданным расположением собственных чисел,  $\mathbf{b}_* = (0 \ \dots \ g_0)^T$ ,  $p = d/dt$ ,  $g(p) = p^n + g_{n-1}p^{n-1} + \dots + g_0$ .

## 1.2. Методика синтеза

*Предлагается общая методика, состоящая из следующих этапов:*

• **Этап 1.** Расширяется размерность КК путем добавления интегратора по каналу ВУ конечного каскада. Формируется ИВ в форме линейного однородного уравнения по элементам вектора ошибки с характеристическим уравнением, совпадающим с характеристическим уравнением ЭМ.

• **Этап 2.** Синтезируется «идеальное» ИВУ, обеспечивающее при полной априорной информации о параметрах системы достижение дополнительной цели управления (ДЦУ) в виде стремления ИВ к нулю и, как следствие – достижение ЦУ (3) с желаемой динамикой. Алгоритмы на входе интегратора могут иметь гладкий или релейный характер.

• **Этап 3.** Синтезируется ИВУ в условиях параметрической неопределённости. При измерении вектора состояния КК и  $n$ -ой производной его выхода ИВУ является робастным алгоритмом. При измерении вектора состояния КК синтезируется алгоритм прямого или непрямого адаптивного управления с настраиваемой моделью (НМ) и идентификацией параметров КК.

• **Этап 4.** Ставится ДЦУ в форме достижения нулевого значения невязки между входом КК и синтезированным ИВУ. Синтезируется гладкое или релейное управление замкнутой системой.

## 1.3. Алгоритм робастного управления

Пусть  $x_{2\text{virt}}(x_1, \xi)$  – синтезированное ИВУ. Введём отклонение реального входа КК  $x_2$  от ИВУ  $x_{2\text{virt}}$  в виде  $\sigma = x_2 - x_{2\text{virt}}$ .

**Этап 1.** Модель расширенного (с интегратором) КК имеет вид

$$\dot{x}_1 = A_{11}(\xi)x_1 + a_{12}(\xi)(x_{2\text{virt}} + \sigma), \quad (6)$$

$$\dot{x}_{2\text{virt}} = v, \text{ где } v - \text{новый вход.} \quad (7)$$

Сформулируем ИВ в виде комбинации ошибки слежения  $e_1$  и её производных

$$y = g(p)e_1, \text{ где } e_1 = x_{11} - x_{11}^*. \quad (8)$$

Из гурвицевости многочлена  $g(p)$  и  $y \rightarrow 0$  при  $t \rightarrow \infty$ , следует достижение ЦУ (3). Из (8), (4) получаем

$$y = g(p)x_{11} - g(p)x_{11}^* = x_{11}^{(n)} + g_{n-1}x_{11}^{(n-1)} + \dots + g_0x_{11} - g_0r. \quad (9)$$

Заметим, что если старшая производная КК  $x_{11}^{(n)}$  измерима, то ИВ (9) не зависит от параметров КК и синтезируемый алгоритм является робастным.

**Этап 2.** Введём ДЦУ в виде

$$Q_y(y) \leq \Delta_y, \text{ при } t > t_*, \text{ где } Q_y(y) = 0,5y^2, \Delta_y > 0. \quad (10)$$

Методом функции Ляпунова ( $Q_y(y)$ ) синтезирован робастный алгоритм ИВУ  $\dot{x}_{2\text{virt}} = v$  с входом

$$v = -\gamma \cdot \text{sign}(a_n) \cdot \text{sign}(y) + \gamma_m \cdot \text{sgn}(\sigma), \text{ где } \gamma > 0, \gamma_m > 0. \quad (11)$$

Доказано, что на многообразии  $\sigma \equiv 0$  при входе (11), ДЦУ (10) достигается.

**Этап 4.** Введём ДЦУ в виде неравенства

$$R(\sigma(t)) \leq \Delta_\sigma \text{ при } t \geq t^*, \text{ где } R(\sigma) = 0,5\sigma^2, \Delta_\sigma > 0. \quad (12)$$

Синтезированное управление, обеспечивающее достижение ДЦУ (12):

$$u = -\gamma \cdot \text{sign}(a_n) \cdot \text{sign}(b) \cdot \text{sign}(y). \quad (13)$$

Условия применимости и предельные свойства достижимости ЦУ (3) сформулированы в виде теоремы. В основе синтеза лежит функция Ляпунова вида  $V(y, \sigma) = Q_y(y) + R(\sigma)$ .

В главе 2 диссертации синтезированы алгоритмы непрямого адаптивного управления с ДЦУ с идентификацией параметров КК.

### 2.1. Постановка задачи

Рассматривается ОУ (1), (2), ЦУ (3), ЭМ (4) и отклонение (5).

### 2.2. Синтез алгоритмов управления

**Этап 1.** Рассмотрим модель расширенного КК в форме (6), (7). Представим ИВ (9) в виде  $y = \mathbf{g}^T \mathbf{x}_1 - g_0 r + a_n x_{2\text{virt}} = \mu(\mathbf{x}_1, \xi_1, r) + a_n x_{2\text{virt}}$ , (14)

где  $\mu(\mathbf{x}_1, \xi_1, r) = \mathbf{g}^T(\xi_1) \mathbf{x}_1 - g_0 r$ ,  $\mathbf{g}(\xi_1) = (g_0 + a_{n1} \cdots g_{n-1} + a_{nm})^T$ ,  $\xi_1 = (a_{n1} \cdots a_{nm})^T$ .

**Этап 2.** Выберем «идеальное» ИВУ в виде (7). Синтезированные входы  $v$ , обеспечивающие достижение ДЦУ (10), в виде семейства алгоритмов

$$v = -a_n^{-1} (\dot{\mu}(\mathbf{x}_1, \xi, r) + \gamma y), \quad (15)$$

$$v = -\gamma \cdot \text{sign}(a_n) \cdot \text{sign}(y), \quad (16)$$

$$v = -\gamma \cdot \text{sign}(a_n) \cdot y, \quad (17)$$

$$v = -\gamma \cdot \text{sign}(a_n) \cdot \text{sign}(y) + \gamma_m \cdot \text{sgn}(\sigma), \quad (18)$$

$$v = -\gamma \cdot \text{sign}(a_n) \cdot y + \gamma_m \cdot \text{sgn}(\sigma), \quad (19)$$

где  $\gamma > 0$ ,  $\gamma_m > 0$ ,  $\dot{\mu}(\mathbf{x}_1, \xi, r) = \mathbf{g}^T(\xi_1) (\mathbf{A}_{11}(\xi) \mathbf{x}_1 + \mathbf{a}_{12}(\xi) x_{2\text{virt}}) - g_0 \dot{r}$ ,  $\xi = (\xi_1^T : a_n)^T$  – точные значения параметров конечного каскада.

В работе доказано, что на многообразии  $\sigma \equiv 0$  ( $x_2 = x_{2\text{virt}}$ ) при любом входе  $v$  из семейства алгоритмов (15)-(19), ДЦУ (10) достигается с различными предельными свойствами (таблица 2.1). При этом синтезированные ИВУ обладают гладким характером. Тем самым выполняется необходимое условие каскадного синтеза.

Таблица 2.1

«Идеальное» ИВУ и предельные свойства

№	ИВУ $\dot{x}_{2\text{virt}} = v$	Сходимость и предельные свойства
1	$v = -\gamma \text{sign}(a_n) \text{sign } y$	При $\forall \gamma \geq \gamma_* + \gamma_0$ , $\gamma_* =  \dot{\mu}(\cdot) / a_n $ , $\gamma_0 > 0$ . $Q_y(y) \equiv 0 \Leftrightarrow y(t) \equiv 0$ , $\forall t \geq t_*$ и $t_* = 2\gamma_0^{-1} \sqrt{Q_y(0)}$ .
2	$v = -\gamma \text{sign}(a_n) y$	<ul style="list-style-type: none"> <li>▪ При <math>\gamma \geq \bar{\gamma}(\Delta)</math>, <math>\bar{\gamma}(\Delta) =  \dot{\mu}(\cdot) /2 a_n \Delta + \rho_y/4 a_n  &gt; 0</math>, <math>\forall \Delta &gt; 0:  y  \leq \Delta \leq \sqrt{2\Delta_y}</math>, <math>\Delta_y &gt; 0</math>, <math>\rho_y &gt; 0</math>. <math>Q_y(y) \leq \Delta_y</math>, <math>t \rightarrow \infty</math>.</li> <li>▪ При <math>\gamma \rightarrow \infty</math>. <math>Q_y(y) \rightarrow 0</math>, <math>t \rightarrow \infty</math>.</li> </ul>
3	$v = -a_n^{-1} \dot{\mu}(\mathbf{x}_1, \xi, r) - a_n^{-1} \gamma y$	При $\forall \gamma > 0$ . $Q_y \rightarrow 0$ при $t \rightarrow \infty$ .

**Этап 3.** Синтез ИВУ в условиях параметрической неопределённости (идентификационный подход при использовании ИВ (14))

Введём ДЦУ вида

$$\lim_{t \rightarrow \infty} \hat{\xi}(t) = \xi, \quad (20)$$

где  $\hat{\xi}$  – вектор оценок параметров КК.

Подсистема КК (1) представлена в виде  $\dot{x}_{1n} = \xi^T \mathbf{x}$ .

Введём НМ вида 
$$\dot{x}_{1n}^{\text{HM}} = \upsilon, \quad (21)$$

где  $x_{1n}^{\text{HM}} \in R^1$  – фазовая координата НМ,  $\upsilon$  – вход НМ.

Сформулирована ДЦУ в виде

$$\lim_{t \rightarrow \infty} Q_\varepsilon(\varepsilon(t)) \rightarrow 0 \text{ при } t \rightarrow \infty, \quad (22)$$

где  $Q_\varepsilon(\varepsilon(t)) = 0,5\varepsilon^2$ ,  $\varepsilon = x_{1n} - x_{1n}^{\text{HM}}$  – невязка.

Синтезированный вход НМ, обеспечивающий достижения ДЦУ (22):

$$\upsilon(\mathbf{x}, \varepsilon, \hat{\xi}) = \dot{x}_{1n}(\mathbf{x}, \hat{\xi}) + \alpha\varepsilon = \hat{\xi}^T \mathbf{x} + \alpha\varepsilon, \quad \alpha > 0, \quad (23)$$

с алгоритмом адаптации в форме скоростного градиента

$$\dot{\hat{\xi}} = -\Gamma \nabla_{\hat{\xi}} \dot{Q}_\varepsilon = \varepsilon \Gamma \mathbf{x}, \Leftrightarrow \dot{\hat{\xi}}_1 = \varepsilon \Gamma_1 \mathbf{x}_1, \dot{\hat{a}}_n = \gamma_{n+1} \varepsilon x_2, \quad (24)$$

где  $\Gamma = \text{diag}\{\gamma_1, \gamma_2, \dots, \gamma_{n+1}\} > 0$ .

Условия применимости и предельные свойства достижимости ДЦУ (20), (22) сформулированы в виде теоремы. Теорема доказана методом функции Ляпунова вида  $V_1 = Q_\varepsilon + 0,5(\hat{\xi} - \xi)^T \Gamma^{-1}(\hat{\xi} - \xi)$ .

Получаемые в процессе адаптации оценки параметров КК  $\hat{\xi}$  используем для формирования ИВ (14) и входов (15)-(19).

**Этап 4.** Синтезирован алгоритм управления замкнутой системой, обеспечивающий достижение ДЦУ (12), имеющий вид

$$u = -\gamma_m \cdot \text{sign}(b) \cdot \text{sign}(\sigma + \hat{a}_n y) \quad (25)$$

или 
$$u = -\gamma \cdot \text{sign}(a_n) \cdot \text{sign}(b) \cdot \text{sign}(y) \quad (26)$$

или 
$$u = -\gamma \cdot \text{sign}(a_n) \cdot \text{sign}(b) \cdot y. \quad (27)$$

**Замечание:** при использовании ИВ (14) с непрямым адаптивным алгоритмом возможны комбинации алгоритмов ИВУ (15)-(19) с управлением (25)-(27), обладающими различными предельными свойствами. Условия применимости алгоритмов сформулированы в виде теорем, приведены их предельные свойства достижимости основной и дополнительных целей управления.

**В главе 3** синтезированы алгоритмы прямого адаптивного управления.

### 3.1. Постановка задачи

Вновь рассматривается ОУ (1), (2), ЦУ (3), ЭМ (4) и отклонение (5).

### 3.2. Синтез алгоритмов управления

**Этап 1.** Рассмотрим модель расширенного КК в форме (6), (7).

В работе показано, что ИВ (14) представим в виде



$$y = x_{2\text{virt}} - \bar{x}_{2\text{virt}}^* \quad (28)$$

где  $\bar{x}_{2\text{virt}}^*$  – «идеальное» желаемое ИВУ, которое имеет вид

$$\bar{x}_{2\text{virt}}^*(\mathbf{x}_1, \boldsymbol{\theta}_*) = -a_n^{-1} \mu(\mathbf{x}_1, \xi_1, r) = -(\boldsymbol{\theta}_1^*)^T \mathbf{x}_1 + \theta_{n+1}^* r = -\boldsymbol{\theta}_*^T \mathbf{f}, \quad (29)$$

где  $\boldsymbol{\theta}_1^* = (\theta_1^* \ \dots \ \theta_n^*)^T$ ,  $\boldsymbol{\theta}_* = \left( (\boldsymbol{\theta}_1^*)^T, \theta_{n+1}^* \right)^T$  – вектор «идеальных» параметров регулятора,  $\theta_i^* = a_n^{-1} (g_{i-1} + a_{ni})$ ,  $i = \overline{1, n}$ ,  $\theta_{n+1}^* = a_n^{-1} g_0$ ,  $\mathbf{f} = \left( \mathbf{x}_1^T \quad -r \right)^T$ .

**Этап 2.** Синтезированные входы, обеспечивающие достижение ДЦУ (10) с ИВ (28) и «идеальным» желаемым ИВУ (29) представлены семейством вида

$$v = -\gamma \text{sign}(y) + \gamma_m \text{sgn}(\sigma), \quad (30)$$

$$v = -\gamma y + \gamma_m \text{sgn}(\sigma), \quad (31)$$

$$v = -\gamma \text{sign } y, \quad (32)$$

$$v = -\gamma y, \quad (33)$$

где  $\gamma > 0$ ,  $\gamma_m > 0$ .

**Этап 3.** Заменяем в (28) и (29) неизвестные параметры  $\boldsymbol{\theta}_*$  настраиваемыми

$\boldsymbol{\theta} = \left( \boldsymbol{\theta}_1^T \quad \theta_{n+1} \right)^T$  так, что

$$\bar{x}_{2\text{virt}} = -\boldsymbol{\theta}_1^T \mathbf{x}_1 + \theta_{n+1} r = -\boldsymbol{\theta}^T \mathbf{f}, \quad (34)$$

$$y = x_{2\text{virt}} - \bar{x}_{2\text{virt}} \quad (35)$$

В качестве ЦФ выберем квадратичную форму от ошибки слежения.

$$Q_e(\mathbf{e}) = 0,5 \mathbf{e}^T \mathbf{H} \mathbf{e}, \quad \mathbf{H} = \mathbf{H}^T > 0. \quad (36)$$

Синтезированный алгоритм настройки неизвестных параметров имеет вид

$$\dot{\boldsymbol{\theta}} = -\Gamma_e \nabla_{\boldsymbol{\theta}} \dot{Q}_e(\mathbf{e}) = \sum_{i=1}^n e_i h_{in} \tilde{\Gamma}_e \mathbf{f} \Leftrightarrow \begin{cases} \dot{\boldsymbol{\theta}}_1 = \sum_{i=1}^n e_i h_{in} \tilde{\Gamma}_{1e} \mathbf{x}_1, \\ \dot{\theta}_{n+1} = -\sum_{i=1}^n e_i h_{in} \tilde{\gamma}_{e(n+1)} r, \end{cases} \quad (37)$$

где  $\Gamma_e = \text{diag}\{\gamma_{e1}, \dots, \gamma_{e(n+1)}\} > 0$ ,  $\tilde{\gamma}_{ei} = a_n \gamma_{ei}$ ,  $\mathbf{H} = (h_{ij})_1^n$  –  $(n \times n)$  матрица – решение уравнения Ляпунова  $\mathbf{H} \mathbf{A}_* + \mathbf{A}_*^T \mathbf{H} = -\mathbf{G}$ ,  $\mathbf{G} = \mathbf{G}^T > 0$ .

**Этап 4.** Синтезированное семейство алгоритмов управления замкнутой системой, обеспечивающих достижение ДЦУ (12), представлено в виде

$$u = -\gamma \cdot \text{sign}(b) \cdot \text{sign}(y), \quad (38)$$

$$u = -\gamma \cdot \text{sign}(b) \cdot y, \quad (39)$$

$$u = -\gamma_m \cdot \text{sign}(b) \cdot \text{sign}(\sigma + y). \quad (40)$$

**Замечание:** при использовании ИВ (35), желаемого ИВУ (34) с прямым адаптивным алгоритмом возможны комбинации алгоритмов ИВУ (30)-(33) с управлением (38)-(40), обладающими различными предельными свойствами. Условия применимости алгоритмов сформулированы в виде теорем. В табл. 3.1 приведены их предельные свойства сходимости.

## Управления и предельные свойства сходимости

№	ИВУ $\dot{x}_{2\text{virt}} = v$	управление	Сходимость и предельные свойства
1	$v = -\gamma \text{sign}(y) + \gamma_m \text{sgn}(\sigma)$	$u = -\gamma \cdot \text{sign}(b) \cdot \text{sign}(y)$	При $\forall \gamma \geq \gamma_* + \gamma_0$ , $\gamma_* =  \eta_y(\cdot) / b $ , $\gamma_0 > 0$ . $Q_y(t) \equiv 0$ ( $y(t) \equiv 0$ ), при $\forall t \geq t_*$ , $t_* = 2\gamma_0^{-1} \sqrt{Q_y(0)}$ . При $\forall \gamma_m \geq \gamma_m^* + \gamma_{m0}$ , $\gamma_{m0} > 0$ , $\gamma_m^* =  \eta_\sigma(\cdot) $ . $R(\sigma) \equiv 0$ ( $\sigma \equiv 0$ ), при $\forall t \geq t^*$ , $t^* = 2\gamma_{m0}^{-1} \sqrt{R(0)}$ , где $\eta_y = \mathbf{a}_{21}^T \mathbf{x}_1 + a_{22} x_2 - \dot{x}_{2\text{virt}} + z$ , $\eta_\sigma = \mathbf{a}_{21}^T \mathbf{x}_1 + a_{22} x_2 + z + \gamma(1 -  b ) \cdot \text{sign}(y)$ , $\dot{x}_{2\text{virt}} = -(\mathbf{z} \Gamma_{1e} \mathbf{x}_1)^T \mathbf{x}_1 - \theta_1^T (\mathbf{A}_{11} \mathbf{x}_1 + \mathbf{a}_{12} x_2) -$ $-z \gamma_{1(n+1)} r^2 + \theta_{n+1} \dot{r}$ , $z = \mathbf{e}^T \mathbf{H} \mathbf{a}_{12} = a_n \sum_{i=1}^n e_i h_{in}$
2	$v = -\gamma y + \gamma_m \text{sgn}(\sigma)$	$u = -\gamma \text{sign}(b) y$	При $\gamma \geq \gamma^*(\Delta)$ , $\gamma^*(\Delta) =  \eta_y /2\Delta + \rho_y/4 > 0$ , $\forall \Delta > 0:  y  \leq \Delta \leq \sqrt{2\Delta_y}$ , $\rho_y > 0$ . $Q_y(t) \leq \Delta_y$ , $t \rightarrow \infty$ (при $\gamma \rightarrow \infty$ , $Q_y \rightarrow 0$ , $t \rightarrow \infty$ ). При $\forall \gamma_m \geq \gamma_m^* + \gamma_{m0}$ , $\gamma_m^* =  \eta_\sigma(\cdot) $ , $\gamma_{m0} > 0$ , $R(\sigma) \equiv 0$ ( $\sigma \equiv 0$ ), $\forall t \geq t^*$ , $t^* = 2\gamma_{m0}^{-1} \sqrt{R(0)}$ .
3	$v = -\gamma \text{sign}(y)$	$u = -\gamma_m \cdot \text{sign}(b) \cdot \text{sign}(\sigma + y)$	При $\forall \gamma \geq \gamma_* + \gamma_0$ , где $\gamma_* =  \dot{x}_{2\text{virt}} $ , $\gamma_0 > 0$ , $y(t) \equiv 0$ и $\sigma \equiv 0$ одновременно.
4	$v = -\gamma y$		При $\gamma \rightarrow \infty$ , $t \rightarrow \infty$ . $Q_y \rightarrow 0$ , $R(\sigma) \rightarrow 0$ .

### 3.3. Алгоритмы астатического виртуального управления линейными двухкаскадными объектами

#### 3.3.1. Формализация задачи

Вновь рассматривается ОУ (1), (2). ЦУ задана в виде ограниченности всех траекторий замкнутой системы и достижение  $e_\infty \rightarrow 0$  при  $t \rightarrow \infty$ ,

где  $e_\infty = \lim_{t \rightarrow \infty} e(t)$ ,  $e(t) = r(t) - x_B(t)$  – ошибка слежения за задающим полиноми-

альным воздействием  $r(t) = a_0 + a_1 t + \dots + a_{l-1} t^{(h-1)}$ ,  $h > 1$ ,  $x_B = x_{11}$  – выход КК.

#### 3.3.2. Синтез алгоритмов управления

Вновь рассмотрим отклонение от многообразия  $\sigma$  вида (5). Рассмотрим синтез алгоритмов управления, обеспечивающих повышение точности конечного каскада в предположении, что известны все параметры конечного каскада. Типовая система управления конечным каскадом по ошибке слежения с астатизмом  $h$ -ого порядка и структурное преобразование представлены на рис. 3.1, 3.2.

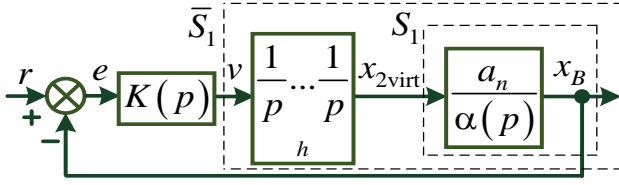


Рис. 3.1. Структурная схема управления КС по ошибке

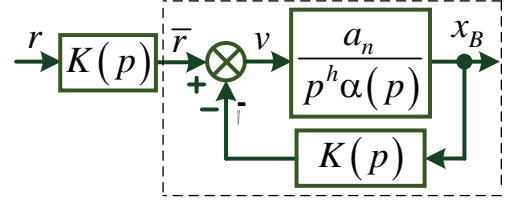


Рис. 3.2. Преобразованная структурная схема

Таким образом, синтез сводится к решению задачи модального управления  $\bar{v} = K(p)x_B$  и формированию  $\bar{r} = K(p)r$ .

Синтез алгоритмов управления в условиях параметрической неопределённости представлен двумя подходами. При измерении выхода и его производных до  $(n+h-1)$ -ого порядка синтезируется алгоритм прямого адаптивного управления (**первый подход**). При измерении фазовых координат расширенного конечного каскада синтезируется алгоритм непрямого адаптивного управления с НМ и идентификацией параметров конечного каскада (**второй подход**).

### 3.3.2.1. Первый подход

**Этап 1.** Расширение КК представлено в виде

$$\dot{\tilde{\mathbf{x}}}_1 = \tilde{\mathbf{A}}_{11}\tilde{\mathbf{x}}_1 + \tilde{\mathbf{a}}_{12}v + \tilde{\mathbf{a}}_{12}\sigma, \quad (42)$$

где  $\tilde{\mathbf{x}}_1 = \begin{pmatrix} \mathbf{x}_1^T & x_{2\text{virt}} & x_{1(n+2)} & \dots & x_{1(n+h)} \end{pmatrix}^T$ ,  $\tilde{\mathbf{A}}_{11} = \begin{pmatrix} \mathbf{A}_{11} & \mathbf{0} \\ \mathbf{0} & \mathbf{I}_{h-1} \\ 0 & 0 \end{pmatrix}$ ,  $\tilde{\mathbf{a}}_{12} = \begin{pmatrix} \mathbf{a}_{12}^T 0 \dots 0 \\ h \end{pmatrix}^T$ .

Для удобства синтеза алгоритма управления в работе показано приведение модели (42) к виду

$$\dot{\bar{\mathbf{x}}}_1 = \bar{\mathbf{A}}_{11}\bar{\mathbf{x}}_1 + \bar{\mathbf{a}}_{12}v + \bar{\mathbf{a}}\sigma, \quad (43)$$

где  $\bar{\mathbf{x}}_1 = \mathbf{T}\tilde{\mathbf{x}}_1$ ,  $\bar{\mathbf{a}}_{12} = \begin{pmatrix} 0 \dots 0 & a_n \\ n+h-1 \end{pmatrix}^T$ ,  $\bar{\mathbf{a}} = \begin{pmatrix} 0 \dots 0 \beta_0 \dots \beta_h \\ n-1 \end{pmatrix}^T$ ,  $\bar{\mathbf{A}}_{11} = \begin{pmatrix} \mathbf{0} & & & \mathbf{I}_{n+h-1} \\ 0 \dots 0 & a_{n1} & \dots & a_{nn} \end{pmatrix}$ ,

$\mathbf{T}$  – нижне-треугольная матрица перехода.

Введём ДЦУ в виде  $\boldsymbol{\varepsilon} \rightarrow \mathbf{0}$  при  $t \rightarrow \infty$ , (44)

где  $\boldsymbol{\varepsilon} = \bar{\mathbf{x}}_1 - \bar{\mathbf{x}}_1^*$  – ошибка слежения за траекторией ЭМ, заданной в виде

$$\dot{\bar{\mathbf{x}}}_1^* = \bar{\mathbf{A}}_*\bar{\mathbf{x}}_1^* + \bar{\mathbf{B}}_*\bar{r}, \quad (45)$$

где  $\bar{r}$  – задающее воздействие (определяется ниже см. (47)),

$\bar{\mathbf{A}}_* = \begin{pmatrix} 0 & & \mathbf{I}_{n+h-1} \\ -\alpha_1 & \dots & -\alpha_{n+h} \end{pmatrix}$  – гурвицевая матрица,  $\alpha_i > 0$ ,  $i = \overline{1, n+h}$ ,  $\bar{\mathbf{B}}_* = (0 \dots 0 \ 1)^T$ .

Синтезированный «идеальный» вход  $v^*$ , обеспечивающий достижение ДЦУ (44), имеет вид

$$\begin{aligned} v^* &= a_n^{-1} \left( \bar{r} - \alpha_1 \bar{x}_{11} - \dots - \alpha_h \bar{x}_{1h} - (\alpha_{h+1} + a_{n1}) \bar{x}_{1(h+1)} - \dots - (\alpha_{h+n} + a_{nn}) \bar{x}_{1(h+n)} \right) = \\ &= a_n^{-1} \left( \bar{r} - K_*(p)x_B \right) = a_n^{-1} e K_*(p) = \theta_0^* \left( \alpha_1 e + \alpha_2 \dot{e} + \dots + \alpha_h e^{(h-1)} \right) + \mathbf{e}^T \boldsymbol{\theta}_1^* = \mathbf{f}^T \boldsymbol{\theta}^*, \end{aligned} \quad (46)$$

где  $K_*(p) = \alpha_1 + \alpha_2 p + \dots + \alpha_h p^{h-1} + k_{h+1}^* p^h + \dots + k_{h+n}^* p^{h+n-1}$ ,  $k_{h+i}^* = \alpha_{h+i} + a_{ni}$ , задающее воздействие  $\bar{r}$  в виде (47)

$$\bar{r} = K_*(p)r,$$

$\theta_0^* = 1/a_n$ ,  $\theta_1^* = (\theta_1^* \dots \theta_n^*)^T$ ,  $\theta_i^* = k_{h+i}^*/a_n$ ,  $\theta^* = \left( \theta_0^* \quad (\theta_1^*)^T \right)^T$  – идеальный вектор параметров регулятора,  $\mathbf{f} = \left( \alpha_1 e + \alpha_2 \dot{e} + \dots + \alpha_n e^{(h-1)} \quad \mathbf{e}^T \right)^T$  – вектор сенсора,  $\mathbf{e} = \left( e^{(h)} \quad \dots \quad e^{(h+n-1)} \right)^T$ .

**Этап 2.** Работоспособность КК в условиях параметрической неопределённости обеспечивается виртуальным алгоритмом ( $x_{2\text{virt}}^{(h)} = v$ ,  $v = \mathbf{f}^T \theta$ ) адаптивного управления вида

$$\dot{\theta} = -\Gamma \nabla_{\theta} \dot{Q}_{\varepsilon}(\varepsilon) = -\varepsilon^T \mathbf{H} (0 \dots 01)^T \tilde{\Gamma} \mathbf{f}, \quad (48)$$

где  $Q_{\varepsilon} = 0,5 \varepsilon^T \mathbf{H} \varepsilon$ ,  $\mathbf{H} = \mathbf{H}^T > 0$ ,  $\Gamma = \text{diag}\{\gamma_1, \dots, \gamma_n\} > 0$ ,  $\tilde{\Gamma} = \text{sign}(a_n) \Gamma$ .

**Этап 3.** Синтезированное управление замкнутой системой, обеспечивающее достижение ДЦУ (12) имеет вид

$$u = -\tau \cdot \text{sign}(b) \cdot \text{sign}(\sigma), \quad \text{где } \tau > 0. \quad (49)$$

В работе условия применимости, предельные свойства достижимости ЦУ (12), (44) сформулированы в виде теоремы.

### 3.3.2.2. Второй подход

**Этап 1.** Вход (46) с учётом  $\bar{\mathbf{x}}_1 = \mathbf{T} \tilde{\mathbf{x}}_1$  представим в виде

$$v^* = a_n^{-1} \bar{r} - a_n^{-1} \boldsymbol{\alpha}^T \mathbf{T} \tilde{\mathbf{x}}_1, \quad (50)$$

где  $\boldsymbol{\alpha} = (\alpha_1 \quad \dots \quad \alpha_h \quad \alpha_{h+1} + a_{n1} \quad \dots \quad \alpha_{h+n} + a_{nn})^T$ .

Для формирования обратной связи в (50) и  $a_n^{-1}$ ,  $\bar{r} = K(p, \xi_1) r$ ,  $\xi_1 = (a_{n1} \quad a_{n2} \quad \dots \quad a_{nn})^T$  требуется значений параметров КК.

**Этап 2.** Для идентификации параметров КК (см. этап 3 глава 2) используется НМ вида (21) с обратной связью (23) и алгоритм адаптации вида (24)

$$\dot{\xi} = -\Gamma \nabla_{\xi} \dot{Q}_{\varepsilon} = \varepsilon \Gamma \mathbf{x}, \quad \Leftrightarrow \dot{\xi}_1 = \varepsilon \Gamma_1 \mathbf{x}_1, \quad \dot{a}_n = \gamma_{n+1} \varepsilon x_2, \quad \text{где } \xi = \left( \xi_1^T \quad a_n \right)^T.$$

**Этап 3.** Синтезированное управление замкнутой системой обеспечивается достижение ДЦУ (12) в форме (49)

$$u = -\tau \cdot \text{sign}(b) \cdot \text{sign}(\sigma), \quad \text{где } \tau > 0.$$

**В главе 4** диссертационной работы синтезирован алгоритм децентрализованного адаптивного управления роботом-манипулятором в условия параметрической неопределённости на основе предложенного в главе 3 подхода (в п. 3 таб. 3.1)

### 4.1. Постановка задачи

ОУ описывается моделью в каскадной форме (рис. 4.1):

$$S_1 : \mathbf{M}(\mathbf{q}, m) \ddot{\mathbf{q}} + \mathbf{B}(\mathbf{q}, \dot{\mathbf{q}}, m) \dot{\mathbf{q}} + \mathbf{G}(\mathbf{q}, m) = \boldsymbol{\tau}, \quad (51)$$

$$S_2 : \dot{\boldsymbol{\tau}} = c(c_1 \mathbf{u} - \boldsymbol{\tau}) - c_2 \dot{\boldsymbol{\tau}}, \quad (52)$$

где  $\mathbf{q} = (q_1 \quad q_2)^T$  – вектор обобщённых координат;  $\mathbf{G}(\cdot) = (0 \quad G_{22})^T$  – вектор силы тяжести;  $\mathbf{M}(\cdot) = \text{diag}\{m_{11}, m_{22}\} > 0$  – матрица моментов инерции;

$\mathbf{B}(\cdot) = \zeta \begin{pmatrix} \dot{q}_2 & \dot{q}_1 \\ -\dot{q}_1 & 0 \end{pmatrix}$  – матрица кориолисовых и центробежных членов,  $\mathbf{u} = (u_1 \ u_1)^T$  – вектор управления,  $\boldsymbol{\tau} = (\tau_1 \ \tau_1)^T$  – вектор моментов;

$$G_{22} = mgl_2 \sin(q_2) + g \frac{3J_2}{2l_2} \sin(q_2), \quad m_{22} = J_2 + ml_2^2 +$$

$$+ n_{22}J_{m22}, \quad m_{11} = \frac{3J_2}{l_2^2} \left( l_1 + \frac{l_2}{2} \sin(q_2) \right)^2 + J_1 + n_{11}J_{n11} +$$

$$+ m(l_1 + l_2 \sin(q_2))^2, \quad 0 < m < 10 \text{ кг} \text{ – неизвестный}$$

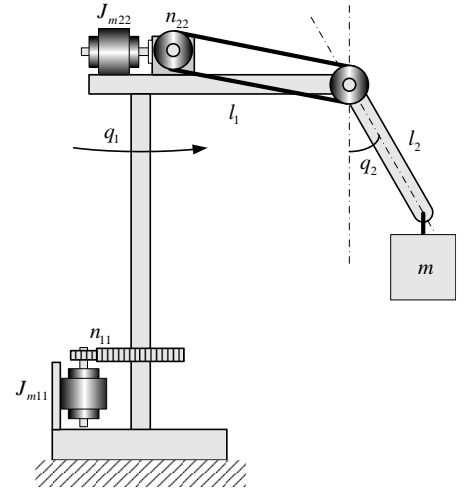


Рис.4.1. Робот-манипулятор

параметр,  $\zeta = \frac{J_2}{2} \left( \sin(2q_2) + \frac{3l_1}{l_2} \cos(q_2) \right) + m(l_1 + l_2 \sin(q_2))l_2 \cos(q_2)$ ,  $J_1$ ,  $J_2$  –

моменты инерции,  $l_1$ ,  $l_2$  – длины жестких однородных стержней,  $n_{11}$ ,  $n_{22}$  – передаточные числа редукторов,  $c$  – электромагнитная постоянная времени,  $c_1$ ,  $c_2$  – константы.

ЦУ является ограниченность всех траекторий системы (42), (43) и достижение предельного соотношения

$$\|\mathbf{e}_i\| \leq \Delta_i, \quad \forall t \geq t_*, \quad \Delta_i > 0, \quad i = 1, 2, \quad (53)$$

где  $\mathbf{e}_i = (q_i - q_i^* \quad \dot{q}_i - \dot{q}_i^*)^T$ ,  $\mathbf{q}_i^*(t) = (q_i^* \quad \dot{q}_i^*)$  – желаемая траектория КК (по каналам управления). Измерению доступны компоненты векторов  $\mathbf{q}$  и  $\dot{\mathbf{q}}$ .

#### 4.2. Синтез алгоритма управления

Введем вектор виртуальных моментов  $\boldsymbol{\tau}_{\text{virt}} = (\tau_{\text{virt1}} \ \tau_{\text{virt2}})^T$  и отклонение реальных моментов  $\boldsymbol{\tau}$  от вектора виртуальных моментов  $\boldsymbol{\tau}_{\text{virt}}$

$$\boldsymbol{\sigma} = \boldsymbol{\tau} - \boldsymbol{\tau}_{\text{virt}}, \quad \text{где } \boldsymbol{\sigma} = (\sigma_1 \ \sigma_2)^T, \quad \sigma_i = \tau_i - \tau_{\text{virt}i}. \quad (54)$$

**Этап 1.** Расширенные КК (51) в соответствии с (6), (7) примут вид

$$\begin{cases} \dot{q}_1 = q_3, \\ \dot{q}_3 = -2m_{11}^{-1}\zeta q_3 q_4 + m_{11}^{-1}(\tau_{\text{virt1}} + \sigma_1), \\ \dot{\tau}_{\text{virt1}} = v_1, \end{cases} \quad \begin{cases} \dot{q}_2 = q_4, \\ \dot{q}_4 = m_{22}^{-1}\zeta q_3^2 - m_{22}^{-1}G_{22} + m_{22}^{-1}(\tau_{\text{virt2}} + \sigma_2), \\ \dot{\tau}_{\text{virt2}} = v_2, \end{cases} \quad (55)$$

где  $v_1$ ,  $v_2$  – новые входы.

ЭМ в форме (4) по каждому каналу зададим матрицами вида

$$\mathbf{A}_* = \begin{pmatrix} 0 & 1 \\ -g_0 & -g_1 \end{pmatrix}, \quad \mathbf{b}_* = \begin{pmatrix} 0 \\ g_0 \end{pmatrix}, \quad g_i > 0.$$

Желаемое ИВУ  $\bar{\boldsymbol{\tau}}_{\text{virt}} = (\bar{\tau}_{\text{virt1}} \ \bar{\tau}_{\text{virt2}})^T$  и ИВ  $\mathbf{y} = (y_1 \ y_2)^T$  в форме (34), (35), соответственно, примет вид:

$$\begin{cases} \bar{\tau}_{\text{virt1}} = \hat{m}k_1(\cdot) + \tilde{k}_1(\cdot), \\ \bar{\tau}_{\text{virt2}} = \hat{m}k_2(\cdot) + \tilde{k}_2(\cdot), \end{cases} \begin{cases} y_1 = \tau_{\text{virt1}} - \bar{\tau}_{\text{virt1}}, \\ y_2 = \tau_{\text{virt2}} - \bar{\tau}_{\text{virt2}}, \end{cases} \quad (56)$$

где  $k_1(\cdot) = (g_0 r_1 - g_0 q_1 - g_1 q_3)(l_1 + l_2 \sin(q_2))^2 + 2q_4 q_3 (l_1 + l_2 \sin(q_2)) l_2 \cos(q_2)$ ,  
 $\tilde{k}_1(\cdot) = \left( J_1 + \frac{3J_2}{l_2^2} \left( l_1 + \frac{l_2}{2} \sin(q_2) \right)^2 + n_{11} J_{n11} \right) (g_0 r_1 - g_0 q_1 - g_1 q_3) +$   
 $+ q_4 q_3 J_2 \left( \sin(2q_2) + \frac{3l_1}{l_2} \cos(q_2) \right)$ ,  $k_2(\cdot) = (g_0 r_2 - g_0 q_2 - g_1 q_4) l_2^2 + g l_2 \sin(q_2) -$   
 $- q_3^2 (l_1 + l_2 \sin(q_2)) l_2 \cos(q_2)$ ,  $\tilde{k}_2(\cdot) = (g_0 r_2 - g_0 q_2 - g_1 q_4) (J_2 + n_{22} J_{m22}) -$   
 $- q_3^2 \frac{J_2}{2} \left( \frac{3l_1}{l_2} \cos(q_2) + \sin(2q_2) \right) + g \frac{3J_2}{2l_2} \sin(q_2)$ .

**Этап 2.** Алгоритм управления  $\mathbf{v} = (v_1 \quad v_2)^T$  конечным каскадом в соответствии с (32) имеет вид

$$v_i = -\gamma_i \text{sign}(y_i), \quad \gamma_i > 0. \quad (57)$$

**Этап 3.** Контур адаптации в соответствии с (33) имеет вид

$$\dot{\hat{m}} = -\tilde{\gamma}_1 (e_1 h_{12} + e_3 h_{22}) k_1(\cdot) - \tilde{\gamma}_2 (e_2 h_{12} + e_4 h_{22}) k_2(\cdot), \quad (58)$$

где  $\tilde{\gamma}_1 = \tilde{\gamma} m_{11} > 0$ ;  $\tilde{\gamma}_2 = \tilde{\gamma} m_{22} > 0$ ;  $\mathbf{H} = \begin{pmatrix} h_{11} & h_{12} \\ h_{21} & h_{22} \end{pmatrix}$  – решение уравнения Ляпунова.

**Этап 4.** Алгоритм управления  $\mathbf{u}$  замкнутой системой в соответствии с (40) имеет вид

$$u_i = -\gamma_{mi} \cdot \text{sign}(\sigma_i + y_i), \quad \gamma_{mi} > 0. \quad (59)$$

### 4.3. Результаты компьютерного моделирования

На рис. (4.2)-(4.7) приведены результаты компьютерного моделирования робота-манипулятора с прямым виртуальным адаптивным управлением в задаче слежения за сигналом  $r(t) = \sin(2t)$ . Из рис. 4.2, 4.3 видно, что для конечного каскада обеспечивается решение задачи слежения. Из рис. 4.2-4.5 видно, что ЦУ (53) достигается.

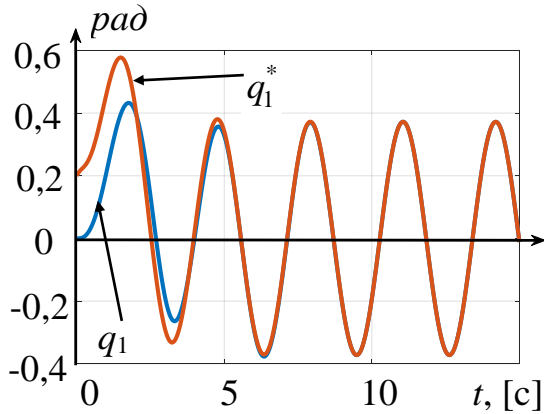


Рис. 4.2. Слежение по углу  $q_1$

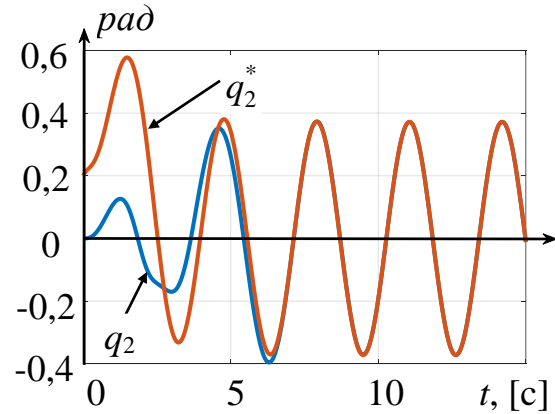


Рис. 4.3. Слежение по углу  $q_2$

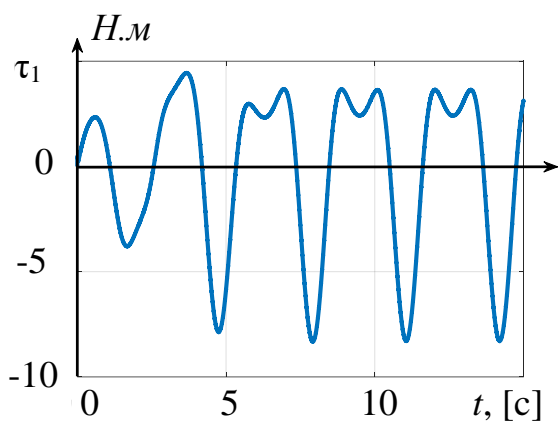


Рис. 4.4. Фазовая траектория  $\tau_1$

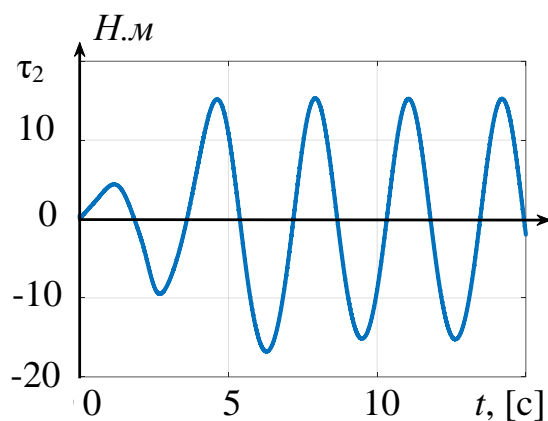


Рис. 4.5. Фазовая траектория  $\tau_2$

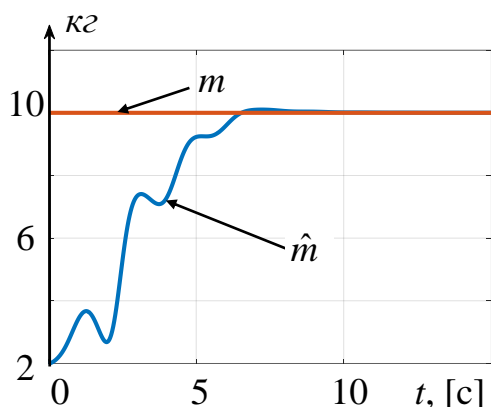


Рис. 4.6. Масса  $m$  и её оценка  $\hat{m}$

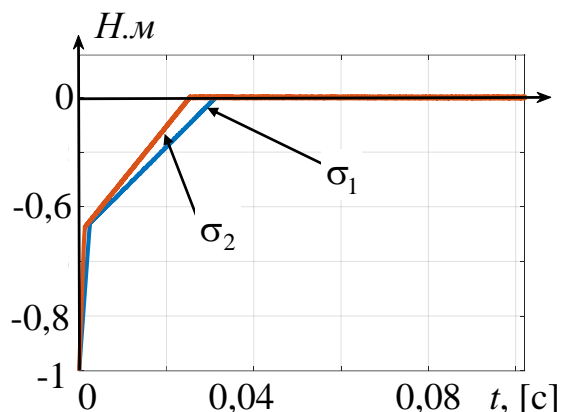


Рис. 4.7. Отклонения  $\sigma_1, \sigma_2$

На рис. 4.6 представлен характер оценивания массы переносимого груза и наличие идентифицирующего свойства алгоритма адаптации. Из рис. 4.7 видно возникновение скользящих режимов за конечное время.

### Основные выводы и результаты исследований

1. Разработана методика адаптивного управления каскадными системами с ИВУ на основе метода скоростного биградиента. Методика позволяет синтезировать семейство алгоритмов адаптивного управления линейными каскадными системами в условиях параметрической неопределённости при повышенных требованиях к качеству управления конечным каскадом.

2. Синтезировано семейство алгоритмов, обладающих различными предельными свойствами достижимости цели управления и условиями применимости. Алгоритмы позволяют увеличивать точность слежения конечного каскада и синтезировать интегральное виртуальное управление с формированием желаемой динамики сходимости модели ошибки между траекториями механической подсистемы и эталонной моделью. Сформулированы и доказаны теоремы, подтверждающие работоспособность синтезированных алгоритмов, проведен анализ их предельных свойств сходимости, получены оценки коэффициентов регулятора. Синтезированные алгоритмы с астатическим виртуальным управлением, позволяющие повысить точность слежения за полиномиальным задающим сигналом для конечного каскада при неопределённости его параметров в двухкаскадной линейной системе.

3. На основе предложенного подхода синтезирован алгоритм адаптивного управления роботом-манипулятором, приведены результаты компьютерного моделирования, подтверждающие достижение основной и дополнительной целей управления. Показана возможность распространения рассматриваемой методики на случай нелинейных систем.

### **ОСНОВНЫЕ ПУБЛИКАЦИИ АВТОРА ПО ТЕМЕ ДИССЕРТАЦИИ**

#### **Публикации в изданиях, входящих в перечень ВАК:**

1. Нгуен Ти Тхань, Мышляев Ю.И. Адаптивное управление роботом-манипулятором с интегральным виртуальным алгоритмом // Перспективы науки. 2018г. № 6(105). С. 29-34.
2. Мышляев Ю.И., Нгуен Ти Тхань, Финошин А.В. Робастное управление каскадной системой с интегральным виртуальным алгоритмом // Труды ФГУП "НПЦАП". Системы и приборы управления. 2018г. № 3. С. 75–78.
3. Мышляев Ю.И., Нгуен Ти Тхань, Финошин А.В. Непрямое адаптивное управление каскадными системами с интегральным виртуальным алгоритмом // Автоматизация. Современные технологии. Т. 72, № 9, 2018г. С. 921-927.
4. Мышляев Ю.И., Нгуен Ти Тхань, Финошин А.В. Управление каскадными объектами с интегральным виртуальным настраиваемым скользящим режимом // Известия ТулГУ. Тула: Изд-во ТулГУ, 2018г. № 9. С. 54-69.

#### **Другие публикации:**

5. Мышляев Ю.И., Нгуен Ти Тхань, Финошин А.В. Адаптивная стабилизация линейного объекта с устойчивой нуль-динамикой // Вестник ТулГУ. Тула: Изд-во ТулГУ, 2016г. – С. 102-105.
6. Асатрян Т.А., Нгуен Ти Тхань, Мышляев Ю.И. Исследование применимости пассивации к задаче управления двухзвенным манипулятором с гибкими сочленениями // Научные технологии в приборостроении и машиностроении и развитие инновационной деятельности в вузе: Материалы региональной научно-технической конференции 18–20 апреля, Т.1.– М.: Изд-во МГТУ им. Н. Э. Баумана, 2017г. С. 202–206.
7. Нгуен Ти Тхань, Афанаскин Д.С., Финошин А.В. Алгоритм интегрального управления в задаче слежения // Научные технологии в приборостроении и машиностроении и развитие инновационной деятельности в вузе: Материалы региональной научно-технической конференции 17–19 апреля, Т.1.– М.: Изд-во МГТУ им. Н. Э. Баумана, 2018г. С. 203–206.
8. Нгуен Ти Тхань, Афанаскин Д.С. Стабилизация линейного объекта с интегральным управлением // Научные технологии в приборостроении и машиностроении и развитие инновационной деятельности в вузе: Материалы региональной научно-технической конференции 17–19 апреля, Т.1.– М.: Изд-во МГТУ им. Н. Э. Баумана, 2018г. С. 259–266.

---

Подписано в печать 2019г.

Формат 56 × 84/16. Печать офсетная. Бумага офсетная. Гарнитура «Таймс».

Печ. л. 1,25. Усл. п. л. 1,16. Тираж 70 экз. Заказ № \_1\_.

---

Отпечатано с готового оригинал- макета в Редакционно-издательском отделе КФ МГТУ им. Н.Э. Баумана 247000, г. Калуга, ул. Баженова, 2, тел. 54-31-87